

Наблюдение плазмон–поляритонных мод в двумерных электронных системах

И. В. Кукушкин¹⁾⁺, Д. В. Кулаковский^{++}, С. А. Михайлов*, Ю. Смет^{2)*}, К. фон Клитцинг^{2)*}*

+ Институт физики твердого тела РАН, 142432 Черноголовка, Московская обл., Россия

** Max-Planck-Institut für Festkörperforschung 70569 Stuttgart, Germany*

Поступила в редакцию 24 марта 2003 г.

В спектре плазменных возбуждений двумерной электронной системы с высокой подвижностью электронов впервые обнаружено проявление эффектов запаздывания, которые были предсказаны теоретически более 35 лет тому назад. Показано, что в нулевом магнитном поле из-за гибридизации плазменной и световой мод наблюдается значительное уменьшение резонансной плазменной частоты. В перпендикулярном магнитном поле обнаружена необычная зависимость частоты гибридной циклотрон–плазмонной моды от магнитного поля. Экспериментальные результаты находятся в хорошем количественном согласии с теорией.

PACS: 71.36.+c, 73.20.Mf

Собственные плазменные колебания в двумерных электронных системах были предсказаны Стерном в 1967 г. [1] и обнаружены экспериментально примерно через 10 лет в системе электронов на поверхности жидкого гелия [2] и кремниевых структурах металл–диэлектрик–полупроводник [3, 4]. Эти и многочисленные последующие эксперименты (см. обзоры [5, 6]) количественно подтвердили предсказанную дисперсию плазмонов [1, 7]:

$$\omega_p^2(q) = \frac{2\pi n_s e^2}{m^* \epsilon(q)} q, \quad (1)$$

где n_s и m^* – концентрация и эффективная масса двумерных электронов, $\epsilon(q)$ – диэлектрическая проницаемость окружающей среды. В разнообразных полупроводниковых структурах, таких как кремниевые структуры метал–диэлектрик–полупроводник, или гетеропереходах GaAs/AlGaAs плазменные возбуждения детектировались методом ИК спектроскопии. Волновой вектор плазмона (с типичной величиной 10^4 см^{-1}) в этих экспериментах задавался периодом металлической решетки, которая обеспечивала взаимодействие между плазменными возбуждениями и электромагнитным полем.

Спектр плазмонов, описываемый формулой (1), был получен в квази-электростатическом приближении. Влияние электродинамических эффектов на спектр плазменных колебаний было теоретически исследовано в работе Стерна, а также в последующих

публикациях [8–11]. Эффекты запаздывания становятся существенны при малых квазимпульсах плазмонов, когда их фазовая скорость приближается к скорости света. Для типичных параметров гетероструктур GaAs/AlGaAs это происходит при $q = 10 \text{ см}^{-1}$ и частоте $10\text{--}30 \text{ ГГц}$. Наблюдение двумерных плазмонов на таких низких частотах было невозможно несколько лет тому назад, поскольку из-за плохого качества структур ширина линии плазменного резонанса составляла около 100 ГГц . В последние десять лет качество образцов значительно улучшилось – подвижность двумерных электронов выросла на несколько порядков, а ширина линии плазменного резонанса уменьшилась до $2\text{--}10 \text{ ГГц}$. Все это позволяет исследовать плазменный резонанс на низких частотах и при малых квазимпульсах и открывает возможности для исследования эффектов запаздывания. Теория [9] предсказывает, что в системе двумерных электронов с большой подвижностью должны существовать слабо затухающие гибридные плазмон–поляритонные моды (связанные состояния плазмонов со светом). Однако вплоть до настоящего времени эти гибридные моды не наблюдались экспериментально. В этой работе мы сообщаем о наблюдении этих плазмон–поляритонных мод и об исследовании их дисперсии и свойств в перпендикулярном магнитном поле.

Мы исследовали несколько одиночных квантовых ям GaAs/AlGaAs как с большой, так и с малой концентрацией двумерных электронов (от $0.2 \cdot 10^{11} \text{ см}^{-2}$ до $6.6 \cdot 10^{11} \text{ см}^{-2}$). Во всех структурах ширина ямы была 25 нм , а подвижность электронов варьирова-

¹⁾e-mail: kukush@issp.ac.ru

²⁾J. H. Smet, K. von Klitzing.

лась от 0.3 до $5 \cdot 10^6$ см²/В·с. Ширины линий резонансного микроволнового поглощения во всех исследованных структурах не превышали 5 ГГц, а в лучших структурах она составляла 1 ГГц. Это позволяло нам измерять плазмонно–циклотронный резонанс при рекордно низких микроволновых частотах (10–50 ГГц). Для измерения размерного плазменного резонанса были изготовлены круглые диски с диаметрами 0.1, 0.2, 0.3, 0.4, 0.5, 0.6, 1, 2 и 3 мм [12, 13], и использовался метод оптического детектирования, основанный на высокой чувствительности спектров люминесценции к разогреву системы двумерных электронов [14, 15]. Спектры люминесценции записывались с помощью CCD-камеры и двойного спектрометра, которые обеспечивали спектральное разрешение 0.03 мэВ. Для фотовозбуждения использовался стабилизированный полупроводниковый лазер с длиной волны 750 нм и мощностью 0.1 мВт. Источником микроволнового излучения в диапазоне 10–50 ГГц служил генератор HP-83650B. Образцы располагались в максимуме микроволнового электрического поля в 16-миллиметровом волноводе, который был закрыт вблизи образца подвижной металлической заглушкой. Мощность выходного микроволнового излучения генератора менялась от 10 нВт до 0.2 мВт. Остальные детали эксперимента можно найти в работах [12, 13, 15]. Характерные спектры резонансного поглощения для образцов с различной электронной плотностью и разным диаметром мезы представлены на рис.1. В спектрах видны как краевой магнитоплазмон (наблюдающийся при низких частотах $\omega < \omega_p$), так и объемный магнитоплазмон (при $\omega > \omega_p$). Для измерения плотности двумерных электронов мы использовали чувствительный спектроскопический метод, который позволял измерять концентрацию с точностью, лучшей чем 10^{-3} , что обеспечивалось необычайно малой шириной пиков в спектре шумов люминесценции, появляющихся в режиме квантового эффекта Холла при целочисленных факторах заполнения [16].

На рис.2а,б показаны зависимости частоты резонансного поглощения от магнитного поля, измеренные для образцов с различной электронной плотностью и разным диаметром мезы. При измерении контура резонансного поглощения мы предполагали разворачивать магнитное поле при фиксированной частоте, а не наоборот, поскольку при развертке частоты было невозможно обеспечить постоянство микроволновой мощности. На рис.2а представлены результаты, полученные для двух образцов с относительно малой концентрацией двумерных электронов ($0.46 \cdot 10^{11}$ см⁻²) и для малых диаметров дисков – 0.1 и

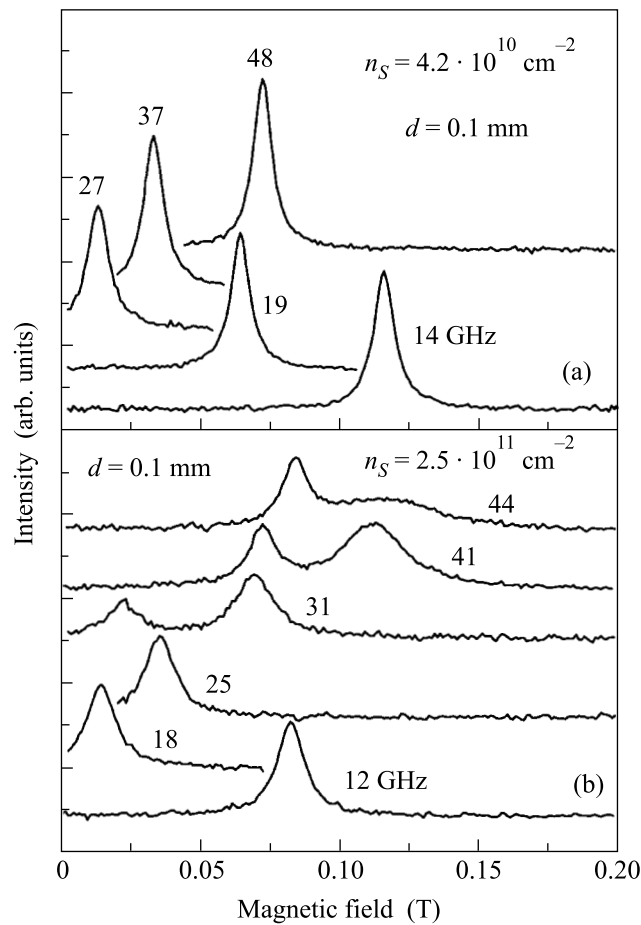


Рис.1. Спектры оптически детектированного размерного магнитоплазменного резонанса двумерного электронного газа, измеренные при различных частотах микроволнового возбуждения для мезаструктур диаметром $d = 0.1$ мм (а) и $d = 1$ мм (б) в квантовой яме GaAs/AlGaAs шириной 250 Å

0.2 мм. Измеренные спектры демонстрируют типичное [17–20] магнитоплазменное поглощение, состоящее из двух мод, которые были подробно описаны теоретически [17, 18, 21–24]. Частота верхней моды, отвечающей объемному магнитоплазмону, асимптотически стремится к циклотронной частоте в пределе бесконечного магнитного поля. Частота нижней моды, соответствующей краевому магнитоплазмону, стремится к нулю в пределе сильных магнитных полей. При $B = 0$ частоты обеих мод совпадают, и эта частота заметно отличается от частоты $\omega_0 = (2\pi n_s e^2 / m^* R \epsilon)^{1/2}$ (показана стрелкой на рисунке), которая получается из формулы (1), если в ней заменить q на $1/R$.

Ситуация заметно меняется, если исследовать размерный магнитоплазменный резонанс на образцах с большой концентрацией электронов и с большим

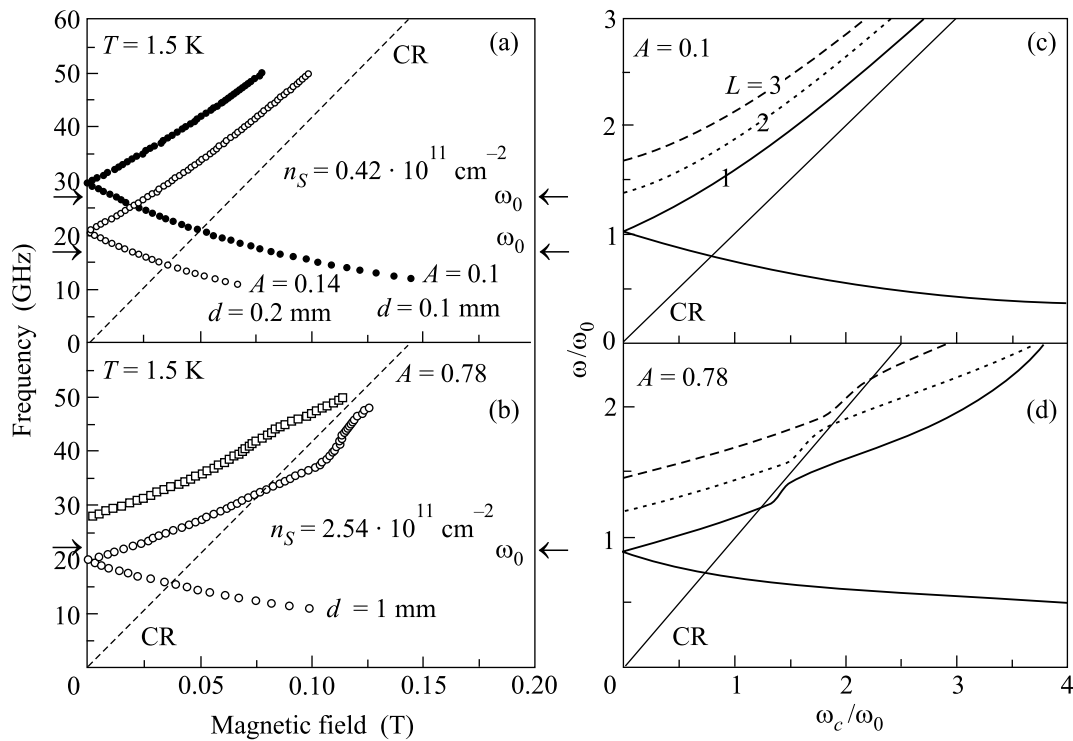


Рис.2. Полевые зависимости магнитоплазменных резонансов. (а,б) – экспериментальные результаты, полученные для образцов с различной электронной плотностью и разным диаметром мезы. На (с,д) представлены теоретические расчеты нижайшей ($n = 1$) моды с $L = 1, 2$, и 3 для параметров A , полученных в эксперименте. Краевые магнитоплазменные моды для $L = 2$ и 3 на графиках не показаны

диаметром мезы. На рис.2б представлены результаты, измеренные для образца с $n_s = 2.54 \cdot 10^{11} \text{ см}^{-2}$ и $d = 1 \text{ мм}$. Из этого рисунка видно, что при этих параметрах наблюдается сразу несколько новых особенностей: а) резонансная частота, измеренная при $B = 0$, заметно меньше, чем ω_0 , б) наклон $|d\omega_{\pm}/d\omega_c|$ при $B \rightarrow 0$ значительно меньше стандартного значения $1/2$, в) верхняя магнитоплазменная мода пересекает линию, отвечающую циклотронному резонансу, при некоторой конечной величине магнитного поля и демонстрирует странное зигзагообразное поведение, которое сопровождается появлением еще одной высокочастотной моды. После пересечения линии циклотронного резонанса ширина линии поглощения начинает заметно увеличиваться, что видно из рис.1. Дальнейшее увеличение электронной плотности и (или) диаметра мезы приводит к еще более сильному проявлению указанных особенностей [25].

Простой качественный анализ позволил нам предположить, что наблюдаемые явления связаны с эффектами запаздывания. Действительно, безразмерный параметр $A = \omega_0 \sqrt{\epsilon R}/c$, определенный как отношение плазменной частоты к частоте света с тем же самым волновым вектором $q = 1/R$, может слу-

жить показателем степени важности эффектов запаздывания. Этот параметр растет с увеличением n_s и R , так как $A \sim \sqrt{n_s R}$ и во всех предыдущих экспериментальных исследованиях никогда не превышал значений 0.1–0.15. Для двух образцов, показанных на рис.2а, параметр A был равен 0.1 и 0.14 для диаметров $d = 0.1$ и $d = 0.2 \text{ мм}$ соответственно, так что в них нельзя было ожидать проявления конечной скорости света в спектрах. Для случая, показанного на рис.2б, напротив, параметр A был равен 0.78, поэтому было разумно связать наблюдавшиеся явления с эффектами запаздывания. Чтобы подтвердить это предположение, мы выполнили вычисления резонансных магнитоплазменных мод в двумерном диске.

Электростатический потенциал $\varphi(\mathbf{r}, z)$ и векторный потенциал $\mathbf{A}(\mathbf{r}, z)$ во всем пространстве удовлетворяют уравнениям Максвелла:

$$\begin{aligned}\Delta \mathbf{A}(\mathbf{r}, z) - \frac{1}{c^2} \frac{\partial^2 \mathbf{A}(\mathbf{r}, z)}{\partial t^2} &= -\frac{4\pi}{c} \mathbf{j}(\mathbf{r}) \delta(z), \\ \Delta \varphi(\mathbf{r}, z) - \frac{1}{c^2} \frac{\partial^2 \varphi(\mathbf{r}, z)}{\partial t^2} &= -4\pi \rho(\mathbf{r}) \delta(z).\end{aligned}\quad (2)$$

Сделаем преобразование Фурье по переменным (\mathbf{r}, t) . Используя известные соотношения между током в

двумерном электронном газе, электронной плотностью и полным электрическим полем в плоскости $z = 0$:

$$\begin{aligned} j_\alpha(r, \theta) &= \sigma_{\alpha\beta}(r, \theta) E_\beta^{\text{tot}}(r, \theta), \\ \partial\rho/\partial t + \text{div}\mathbf{j} &= 0, \end{aligned} \quad (3)$$

получим из уравнений (2) для цилиндрически симметричного случая, когда собственные моды системы характеризуются угловым моментом l и радиальным квантовым числом n (см. [18, 22, 26–28]), следующую систему уравнений

$$\begin{aligned} E_{r, l}^{\text{ind}}(r) &= \frac{2\pi i\omega}{c^2} \int_0^\infty \frac{qdq}{\chi_{q\omega}} J_{|l|}(qr) \int_0^\infty r' dr' J_{|l|}(qr') \times \\ &\times [\sigma_{rr}(r') E_{r, l}^{\text{tot}}(r') + \sigma_{r\theta}(r') E_{\theta, l}^{\text{tot}}(r')] - \\ &- \frac{2\pi}{i\omega} \frac{\partial}{\partial r} \int_0^\infty \frac{qdq}{\chi_{q\omega}} J_{|l|}(qr) \int_0^\infty r' dr' J_{|l|}(qr') \times \\ &\times \left\{ \frac{1}{r'} \frac{\partial}{\partial r'} (r' [\sigma_{rr}(r') E_{r, l}^{\text{tot}}(r') + \sigma_{r\theta}(r') E_{\theta, l}^{\text{tot}}(r')]) + \right. \\ &\left. + \frac{il}{r'} [\sigma_{\theta r}(r') E_{r, l}^{\text{tot}}(r') + \sigma_{\theta\theta}(r') E_{\theta, l}^{\text{tot}}(r')] \right\}, \end{aligned} \quad (4)$$

$$\begin{aligned} E_{\theta, l}^{\text{ind}}(r) &= \frac{2\pi i\omega}{c^2} \int_0^\infty \frac{qdq}{\chi_{q\omega}} J_{|l|}(qr) \int_0^\infty r' dr' J_{|l|}(qr') \times \\ &\times [\sigma_{\theta r}(r') E_{r, l}^{\text{tot}}(r') + \sigma_{\theta\theta}(r') E_{\theta, l}^{\text{tot}}(r')] - \\ &- \frac{2\pi il}{i\omega r} \int_0^\infty \frac{qdq}{\chi_{q\omega}} J_{|l|}(qr) \int_0^\infty r' dr' J_{|l|}(qr') \times \\ &\times \left\{ \frac{1}{r'} \frac{\partial}{\partial r'} (r' [\sigma_{rr}(r') E_{r, l}^{\text{tot}}(r') + \sigma_{r\theta}(r') E_{\theta, l}^{\text{tot}}(r')]) + \right. \\ &\left. + \frac{il}{r'} [\sigma_{\theta r}(r') E_{r, l}^{\text{tot}}(r') + \sigma_{\theta\theta}(r') E_{\theta, l}^{\text{tot}}(r')] \right\}, \end{aligned}$$

с дополнительным условием для радиальной компоненты тока на краю диска:

$$j_r = \sigma_{rr}(R) E_{r, l}^{\text{tot}}(R) + \sigma_{r\theta}(R) E_{\theta, l}^{\text{tot}}(R) = 0. \quad (5)$$

Аналогично работе [22], мы решили систему уравнений (4) с дополнительным условием (5) методом разложения неизвестных компонент полного электрического поля $E_{r, l}^{\text{tot}}(r)$ и $E_{\theta, l}^{\text{tot}}(r)$ по ортонормированному базису и нашли магнетополевые зависимости энергий магнетоплазмонов в диске со ступенчатым профилем потенциала. На рис.2c,d представлена

нижайшая ($n = 1$) мода с $L \equiv |l| = 1, 2$, и 3 для параметров A , полученных в эксперименте. Хорошее согласие теории и эксперимента очевидно. Количественное сравнение измеренных и рассчитанных частот позволило нам установить, что вышележащая объемная магнетоплазменная мода, наблюдаемая при $A = 0.78$, – это мода с более высоким угловым моментом $L = 2$ и с нижайшим значением $n = 1$ (моды с $n > 1$ имеют большие частоты).

Далее мы сконцентрируемся на количественном анализе наших результатов в области малых магнитных полей $B \rightarrow 0$. На рис.3а представлена зависи-

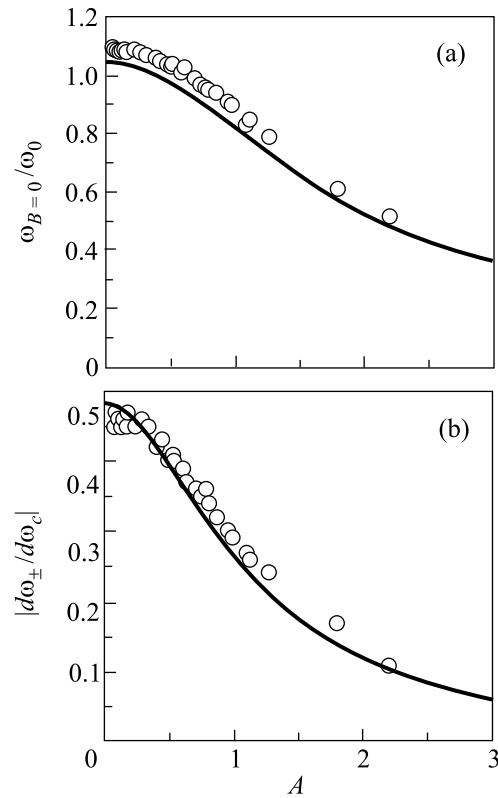


Рис.3. (а) Нормированная резонансная частота $\omega_{B=0}/\omega_0$ при $B = 0$ и (б) ее наклон $|d\omega_{\pm}/d\omega_0|$ при $B \rightarrow 0$ как функции безразмерного параметра $A = \omega_0 \sqrt{\epsilon R}/c$, $\omega_0 = (2\pi n_s e^2/m^* R \epsilon)^{1/2}$. Экспериментальные данные показаны кружками, сплошной линией – теория

мость отношения $\omega_{B=0}/\omega_0$ от параметра A , измеренная для семи образцов с различными концентрациями и радиусами. Это отношение стартует с 1.1 при малых значениях A и уменьшается до 0.5 при увеличении A до 2.20. Сплошной кривой на рисунке представлены результаты теоретических расчетов. При $A = 0$ наш результат совпадает с результатом, который был получен Феттером [22] в квазистатическом приближении. Наблюдаются хорошее согласие теории

с экспериментом, а небольшое ($\sim 4\%$) расхождение может быть связано с неточностью в определении эффективной диэлектрической постоянной среды $\bar{\epsilon}$, которая в реальной системе может зависеть от размеров образца, присутствия волновода и т.д. На рис.3б показана зависимость наклона $|d\omega_{\pm}/d\omega_c|$ при $B \rightarrow 0$ от параметра A . Легко видеть, что наклон даже более чувствителен к усилию эффектов запаздывания. Увеличение безразмерного параметра с 0 до 2.2 приводит к уменьшению наклона в четыре раза. Теоретические результаты, показанные на этом рисунке сплошной кривой, находятся в очень хорошем согласии с экспериментом.

Наконец, мы проанализируем наши экспериментальные данные, чтобы качественно проверить дисперсию двумерного плазмона $\omega(q)$, предсказанную в пионерской работе Стерна [1]. Согласно этой работе, дисперсия с учетом эффектов запаздывания имеет вид

$$q^2 = \epsilon\omega^2/c^2 + \left(\frac{\omega^2}{2\pi n_s e^2/m^*\bar{\epsilon}}\right)^2. \quad (6)$$

Зная соотношения между волновым вектором и диаметром диска ($q = 2.4/d$, см. [25]), мы можем теперь получить зависимость частоты резонанса как функцию обратного диаметра мезы. Такие зависимости показаны на рис.4а и 4б для двух различных электронных плотностей ($n_s = 6.6 \cdot 10^{11} \text{ см}^{-2}$ и $n_s = 2.5 \cdot 10^{11} \text{ см}^{-2}$). Для сравнения мы также изобразили дисперсию света $\omega = 2\pi f = cq/\sqrt{\epsilon}$ и дисперсию двумерного плазмона, определенную формулой (1). Данный рисунок подтверждает справедливость выражения (6), так как при малых концентрациях дисперсия гибридной моды соответствует, главным образом, дисперсии чисто двумерного плазмона, а при больших плотностях в области малых волновых векторов – выходит на световую. Этот факт полностью согласуется с результатами, полученными в работах [1, 9], в которых было показано, что смешивание между плазменной и световой модами имеет место только при больших концентрациях электронов.

В работе изучены спектры поглощения двумерного магнетоплазмона при малых волновых векторах и в области низких частот, где должны проявляться эффекты запаздывания. Особенности, связанные с этими эффектами, были наблюдены экспериментально и объяснены теоретически. Отдельно стоит отметить, что в области конечных перпендикулярных магнитных полей была обнаружена аномальная гибридная магнетоплазменная мода с очень необычной полевой зависимостью. Экспериментальные результаты бы-

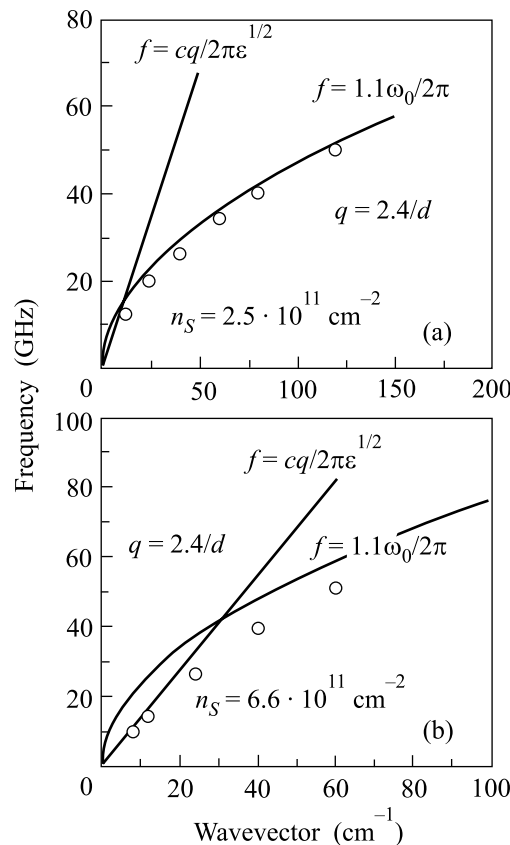


Рис.4. Кружками показана дисперсия двумерного плазмон-поляритона, полученная из экспериментальных данных для двух образцов с различными электронными плотностями: (а) $n_s = 2.5 \cdot 10^{11} \text{ см}^{-2}$; (б) $n_s = 6.6 \cdot 10^{11} \text{ см}^{-2}$. Дисперсия света изображена прямой линией, а дисперсия двумерного плазмона в квазистатическом приближении (формула (1))

ли сопоставлены с теоретическими предсказаниями для 2D плазмон-поляритонов в бесконечном двумерном электронном газе при $B = 0$, а также для образца в форме диска в нулевых и конечных магнитных полях. Эти вычисления хорошо описывают экспериментальные результаты.

Работа была поддержана грантами Российского фонда фундаментальных исследований и INTAS.

1. F. Stern, Phys. Rev. Lett. **18**, 546 (1967).
2. C. C. Grimes and G. Adams, Phys. Rev. Lett. **36**, 145 (1976).
3. S. J. Allen, Jr., D. C. Tsui, and R. A. Logan, Phys. Rev. Lett. **38**, 980 (1977).
4. T. N. Theis, J. P. Kotthaus, and P. J. Stiles, Solid State Commun. **26**, 603 (1978).
5. T. N. Theis, Surf. Sci. **98**, 515 (1980).

6. D. Heitmann, *Surf. Sci.* **170**, 332 (1986).
7. A. V. Chaplik, *Zh. Eksp. Teor. Fiz.* **62**, 746 (1972), [Sov. Phys.-JETP **35**, 395 (1972)].
8. K. W. Chiu and J. J. Quinn, *Phys. Rev.* **B9**, 4724 (1974).
9. V. I. Fal'ko and D. E. Khmel'nitskii, *Zh. Eksp. Teor. Fiz.* **95**, 1988 (1989) [Sov. Phys. JETP **68**, 1150 (1989)].
10. A. O. Govorov and A. V. Chaplik, *Zh. Eksp. Teor. Fiz.* **95**, 1976 (1989) [Sov. Phys. JETP **68**, 1143 (1989)].
11. S. A. Mikhailov, *Pis'ma ZhETF* **57**, 570 (1993) [JETP Lett. **57**, 586 (1993)].
12. S. I. Gubarev, I. V. Kukushkin, S. V. Tovstonog et al., *JETP Lett.* **72**, 324 (2000) [*Pis'ma ZhETF* **72**, 469 (2000)].
13. M. Y. Akimov, I. V. Kukushkin, S. I. Gubarev et al., *JETP Lett.* **72**, 460 (2000) [*Pis'ma ZhETF* **72**, 662 (2000)].
14. B. M. Ashkinadze and V. I. Yudson, *Phys. Rev. Lett.* **83**, 812 (1999).
15. I. V. Kukushkin, J. H. Smet, K. von Klitzing, and W. Wegscheider, *Nature* **415**, 409 (2002).
16. O. V. Volkov, I. V. Kukushkin, M. V. Lebedev et al., *JETP Lett.* **71**, 383 (2000) [*Pis'ma ZhETF* **71**, 558 (2000)].
17. S. J. Allen, Jr., H. L. Störmer, and J. C. M. Hwang, *Phys. Rev.* **B28**, 4875 (1983).
18. D. C. Glattli, E. Y. Andrei, G. Deville et al., *Phys. Rev. Lett.* **54**, 1710 (1985).
19. T. Demel, D. Heitmann, P. Grambow, and K. Ploog, *Phys. Rev. Lett.* **64**, 788 (1990).
20. W. Hansen, J. P. Kotthaus, and U. Merkt, in *Semiconductors and Semimetals*, Ed. M. Read, Academic Press, NY, 1992, Vol. 35, p. 279.
21. R. P. Leavitt and J. W. Little, *Phys. Rev.* **B34**, 2450 (1986).
22. A. L. Fetter, *Phys. Rev.* **B33**, 5221 (1986).
23. V. A. Volkov and S. A. Mikhailov, *Zh. Eksp. Teor. Fiz.* **94**, 217 (1988) [Sov. Phys.-JETP **67**, 1639 (1988)].
24. S. A. Mikhailov, *Phys. Rev.* **B54**, 10335 (1996).
25. I. V. Kukushkin, J. H. Smet, S. A. Mikhailov, and D. V. Kulakovskii, *Phys. Rev. Lett.*, to be published.
26. S. S. Nazin and V. B. Shikin, *Fizika nizkikh temperatur* **15**, 227 (1989), [Sov. J. Low Temp. Phys. **15**, 127 (1989)].
27. V. Shikin, S. Nazin, D. Heitmann, and T. Demel, *Phys. Rev.* **B43**, 11903 (1991).
28. Z. L. Ye and E. Zarembo, *Phys. Rev.* **B50**, 17217 (1994).